

Elektrogastroografi Kutan Satu Channel pada Kelinci Putih Lokal (*Oryctolagus cuniculus*) Beserta Algoritma Pengelompokan Elektrogastrogramnya

Single Channel Local White Rabbit (*Oryctolagus cuniculus*) Cutaneous Electrogastrography and Its Electrogastrogram Classification Algorithm

Tyas Pandu Fiantoro¹, Lussy Eveline Rawar²

¹Alumnus Program Sarjana Teknik Elektro dan Teknologi Informasi, Universitas Gadjah Mada

²Alumnus Program Sarjana Sain Veteriner Fakultas Kedokteran Hewan, Universitas Gadjah Mada

Email: eltroyaz@mail.ugm.ac.id

Abstract

It has been a common practice to place electrodes based on external landmarks, rather than locating the appropriate organ first by imaging techniques such as CT scan, ultrasound, etc. Therefore, aside from abiding the cutaneous EGG (electrogastrography) electrodes placement rule, identification of its waveform should be performed to ease the validation of one's EGG recording method. This research focused on the assembly of EGG instrument, its performance testing, and its usage on local white rabbit (*O. cuniculus*). A total of 72 recordings obtained and processed. Data procession implies EGG parameterization based on segmentation and Fast Fourier Transform (FFT). Therefore this research gives an insight of an EGG recording method that could be applied on another preclinical, veterinary, and even for clinical examination.

Key words: *Oryctolagus cuniculus*, electrogastrography, electrode placement, algorithm, pattern classification

Abstrak

Sudah menjadi kebiasaan umum bahwa penempatan elektroda dilaksanakan sebatas hapalan yang mengacu pada posisi/anatominya saja, tanpa melakukan penentuan letak organ yang sebenarnya melalui teknik pencitraan semacam USG (*ultrasonography*), CT (*computed tomography*), dan sejenisnya. Oleh karenanya, pengenalan bentuk gelombang EGG (elektrogastroografi) yang muncul akibat suatu tatacara pemasangan elektroda dapat dijadikan salah satu tolak ukur akan keabsahan tatacara EGG yang dilakukan. Penelitian ini dimulai dari pembuatan beserta pengujian instrumen EGG, dan kemudian teknik perekaman EGG dengan instrumen tersebut diterapkan pada 13 ekor kelinci putih lokal (*O. cuniculus*). Sebanyak 72 buah rekaman EGG berhasil diperoleh, dan diolah. Pengolahan data merujuk pada parameterisasi rekaman EGG berdasarkan segmentasi dan transformasi fourier kilat (FFT). Dengan demikian, apabila instrumen EGG dapat dibuat, diujikan, diterapkan, dan data EGG yang diperoleh dapat diolah, muncul sebuah tatacara yang dapat digunakan untuk keperluan pengujian pra-klinis, veteriner, hingga pengujian klinis pada manusia.

Kata kunci: *Oryctolagus cuniculus*, elektrogastroografi, letak elektroda, algoritma, klasifikasi pola

Pendahuluan

EGG umumnya digunakan mengenali keadaan lambung *tachygastria*, *normogastria*, *bradygastria*. Segmentasi dan penjabaran bentuk gelombang EGG, relatif jarang dilakukan, bila dibandingkan dengan penjabaran bentuk gelombang ECG yang sudah distandarisasi.

Penelitian ini ditujukan untuk mengetahui jenis gelombang beserta pengenalan bentuk segmen-segmen EGG yang diperoleh dari kelinci putih lokal (*O. cuniculus*) melalui tatacara pemasangan sepasang elektroda kutan. Peranti EGG yang digunakan ialah berdasar pada penggunaan penguat instrumentasi yang dihubungkan ke sebuah osiloskop digital *channel* tunggal.

Alat dan Bahan

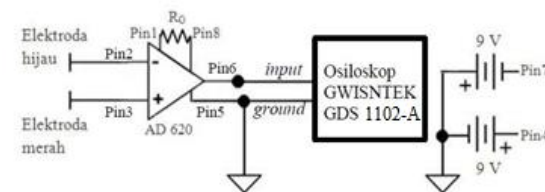
Pengindera EGG yang digunakan terdiri dari sepasang elektroda (*Prym Press Stud 555*, Jerman) yang terhubung pada untai penguat instrumentasi yang tersusun dari; IC AD620 pabrikan Analog Devices, kabel *jumper*, resistor 1000Ω dengan toleransi 1%, papan lubang transistor, dan selubung (*casing*) peti $7 \text{ cm} \times 5 \text{ cm}$ merk Lion Star. Keluaran untai penguat tersebut kemudian dihubungkan ke osiloskop digital dengan merk GWINSTEK dengan tipe GDS 1102-A-U. Berkas data EGG yang terekam osiloskop (dalam format .csv) disimpan pada *flashdisk* dengan merk HP dengan kapasitas 16 GB. Pencukuran bulu kelinci menggunakan *clipper* merk WAHL. Peralatan penunjang yang digunakan dalam perakitan peranti EGG ini ialah solder dengan merk Goot tipe KX-30R 220V/30W dengan ujung KX-20~100 berbahan Cu, multimeter dengan merk Heles tipe UX 839-TR, tang potong, tang jepit, dan gunting. Untuk keperluan pengujian peranti EGG digunakan pembangkit isyarat (*signal generator*) dengan merk Thurlby – Thandar.

Perakitan Peranti EGG

Peranti perekam EGG terdiri dari sepasang elektroda kulit, untai penguat instrumentasi, dan osiloskop digital. Untai penguat instrumentasi terdiri dari IC (semacam *chip*) AD-620 yang memiliki 8 pin sebagai kaki-kakinya. Kaki pin 2 dihubungkan dengan elektroda berwarna hijau

(elektroda ditempelkan pada permukaan kulit yang mewakili bagian pilorus lambung), dan kaki pin 3 dihubungkan dengan elektroda berwarna merah (elektroda yang ditempelkan pada permukaan kulit yang mewakili bagian fundus lambung). Kaki pin 1 dengan kaki pin 8 dihubungkan dengan resistor R_G dengan besar 1000Ω dan toleransi 1%. Kaki pin 5 dihubungkan dengan sambungan antara dua baterai 9 V, dan juga titik referensi osiloskop (*ground*). Kaki pin 4 dihubungkan dengan kutub positif baterai 9 V pertama, dan kaki pin 7 dihubungkan dengan kutub negatif baterai 9 V kedua. Kedua baterai 9 V dihubungkan secara seri dengan cara menempelkan kutub negatif baterai pertama dengan kutub positif baterai kedua.

Keluaran untai penguat instrumentasi (kaki pin 6) dihubungkan dengan osiloskop digital GWINSTEK GDS 1102-A-U dengan pesat pencuplikan 10 Hz, karena besar pesat pencuplikan ini telah mencakup rentang frekuensi penting dalam EGG yakni 0,05 Hz hingga 4 Hz (Naruse *et al.*, 2000; Van der Voort, 2003; Kenneth dan Robert, 2004; Sagami dan Hongo, 2007; Matsuura, 2009). Tidak digunakan tapis apapun guna menghindari artifak atau kesalahan isyarat yang ditimbulkan tapis. Skema rangkaian perekam EGG secara keseluruhan dapat dilihat pada Gambar 1.



Gambar 1. Skematik elektrogastrograf

Pengujian Pengindera EGG

Pengindera EGG diuji dengan cara diberi masukan berupa isyarat sinus dengan frekuensi 0,01 Hz, 0,05 Hz, 0,5 Hz, dan 0,1 Hz dengan amplitudo sebesar 20 mV dari pembangkit isyarat (*signal generator*) Thurlby-Thundar. Rentang frekuensi pengujian ini mencakup rentang frekuensi EGG pada umumnya (Kaneoke *et al.*, 1992; Homma *et al.*, 1998; Naruse *et al.*, 2000; Kenneth dan Robert, 2004; Sagami dan Hongo, 2007; Matsuura *et al.*, 2009). Pengujian dilakukan dengan cara

memberi isyarat masukan dari pembangkit isyarat *probe* ke *channel* 1 osiloskop dan sebagai masukan untai penguat instrumentasi secara bersamaan. Keluaran untai penguat instrumentasi tersebut dihubungkan dengan *probe* ke *channel* 2 osiloskop. Pencuplikan isyarat dari *channel* 1 dan 2 dilakukan secara bersamaan. Diperoleh nilai *signal to noise ratio* dalam desibel (*SNRdB*) dari pengukuran ini. Pengindera EGG yang digunakan dalam penelitian ini telah diujikan (untuk rentang frekuensi 0.05 Hz hingga 0.1 Hz) memiliki nilai *SNRdB* yang berkisar antara 39 dB hingga 55 dB.

Tatacara Pemasangan Elektroda

Elektroda yang digunakan dalam penelitian ini ialah jenis elektroda kulit (*cutaneous*), sehingga elektroda dipasang diatas permukaan kulit lumbar yang mewakili daerah lambung.

Sebuah kelinci terlebih dahulu dicukur di bagian lumbar tempat lambung berada seperti ditunjukkan oleh Gambar 2. Bulu kelinci dicukur hingga tipis (ketebalan sisa bulu sekitar 2 mm) seperti terlihat pada Gambar 3.

Dalam penelitian ini digunakan dua elektroda untuk mewakili titik fundus dan pilorus sesuai Gambar 4, sehingga metode EGG yang dilakukan ialah termasuk dalam kategori satu *channel*. Hal ini sesuai dengan tatacara Kaneoke dan Sagami (Sagami dkk., 2007; Květina dkk., 2010), dan juga senada dengan tatacara yang dianjurkan *Handbook of Electrogastrography* (Kenneth dan Robert, 2004) hanya saja tanpa elektroda *common* yang dipasang di kurvatura minor.

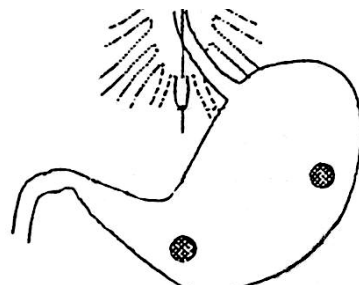


Gambar 2. Daerah pencukuran bulu

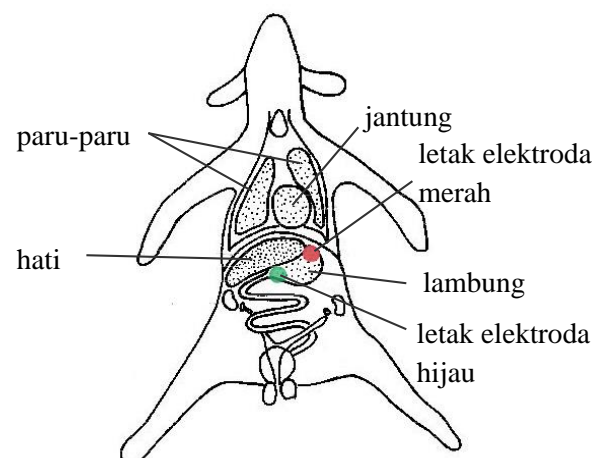
Letak dua elektroda yang digunakan dalam penelitian ini ditunjukkan oleh Gambar 4, 5, dan 6. Elektroda merah ditempelkan di permukaan kulit lumbar antara katup esofagus dengan badan orad (*esophaeagal sphincter – orad corpus*), dan elektroda hijau ditempelkan di permukaan kulit lumbar antara katup pilorus dengan ujung antrum (*pyloric sphincter – terminal antrum*).



Gambar 3. Bagian lumbar yang telah dicukur



Gambar 4. Dua titik penempatan elektroda EGG



Gambar 5. Letak titik merah dan titik hijau

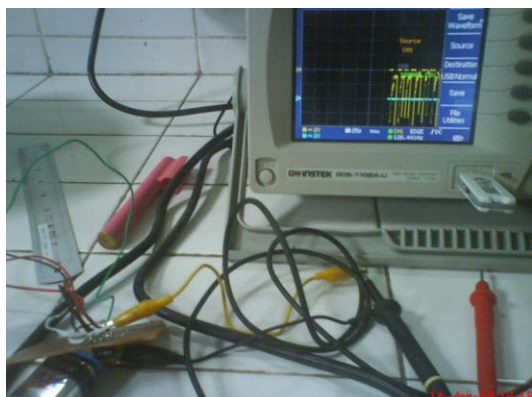
Sebelum elektroda dipasang, terlebih dahulu dioleskan gel konduktan pada kulit di daerah lumbar kelinci yang bersangkutan. Agar elektroda tidak lepas, digunakan plester perekat seperti yang terlihat pada Gambar 7. Tatacara pemasangan elektroda ini tidak melukai kelinci yang digunakan.



Gambar 6. Letak titik merah dan hijau di lumbar



Gambar 7. Elektroda ditempel menggunakan plester



Gambar 8. Elektrogastrograf yang digunakan, data disimpan pada flashdisk putih.

Kedua elektroda tersebut dihubungkan ke penguat instrumentasi AD-620, keluaran untai penguat ini dihubungkan ke Osiloskop Digital GWINSTEK GDS 1102-A-U. Perekaman dilakukan selama 400 detik dengan 10 cuplikan per detik. Hal ini dikarenakan kapasitas ingatan Osiloskop hanyalah 4000 cuplikan, dan dengan 6 menit 40 detik, sudah bisa didapat lebih dari 45 cpm gelombang EGG yang mana sudah dapat dinyatakan gayut (Jieyun Yin, 2013). Hasil rekaman EGG berupa berkas berekstensi .csv yang dapat disimpan pada flashdisk yang dipasangkan pada osiloskop tersebut. Instrumen elektrogastrograf dapat dilihat pada Gambar 8.

Hasil Elektrogastroografi

Seluruh rekaman EGG yang diperoleh berjumlah 72 buah, dan secara kasat mata terlihat ada kemiripan pola bentuk gelombang antar rekaman. Setidaknya ada tiga jenis pola gelombang EGG yang didapat dari 72 rekaman tersebut, yakni

Pola pertama, yakni gelombang yang terdiri dari segmen istirahat – depolarisasi – plateau – repolarisasi, dengan nilai tegangan pada segmen istirahat ialah 0 V. Pola ini kami beri nama λ .

Pola kedua, yakni pola yang muncul pada kelinci yang tidak mau makan. Pola ini terdiri dari segmen istirahat yang dominan dan besar tegangan istirahatnya kurang dari 0 V. Pola ini kami namakan ϵ .

Pola ketiga, yakni gelombang terdiri dari segmen istirahat – depolarisasi – plateau – repolarisasi, dengan nilai tegangan pada segmen istirahat bukan 0 V. Pola ini kami beri nama ρ .

Segmentasi Elektrogastrogram

Rekaman EGG yang diperoleh kemudian diolah menggunakan SCILAB 5.1. Pengolahan isyarat yang dilakukan bertujuan untuk mengenali segmen istirahat, depolarisasi, plateau, dan repolarisasi dari gelombang EGG.

Pengenalan segmen istirahat EGG dilakukan dengan membandingkan (komparasi) nilai mutlak tegangan rekaman dengan batas (*threshold*) tegangan aktif tertentu (nilai mutlak V_{aktif} dapat diatur sesuai keperluan, namun umumnya ada di kisaran 2 mV). Apabila nilai mutlak tegangan sesaat EGG ialah kurang dari

nilai batas ini, tegangan sesaat tersebut dinyatakan sebagai anggota dari segmen istirahat.

Namun demikian, ada beberapa kasus ketika segmen aktif memiliki *plateau* (dataran) yang bernilai kurang dari nilai batas V_{aktif} tersebut, sehingga apabila hanya diterapkan algoritma komparasi saja, akan muncul kesalahan pengenalan segmen, karena segmen ini akan dianggap sebagai segmen istirahat. Cara mengatasi kesalahan ini ialah dengan menerapkan tapis durasi, yakni tiap segmen yang telah dikenali menggunakan algoritma komparasi tadi kemudian dicacah lama (rentang) waktunya. Segmen yang memiliki cacah rentang kurang dari rentang waktu minimum (T_{min}) akan digabung (*union*) dengan segmen sebelumnya.

Pesat pencuplikan yang digunakan dalam perekaman ialah tetap, yakni 10 cuplikan per detik. Diberikan N buah cuplikan data untuk satu rekaman, artinya rekaman dilakukan selama $N/10$ detik. Nilai T_{min} disesuaikan dengan jumlah siklus tiap rekaman, seringkali $T_{min} = 2$ detik sudah tidak menghasilkan kesalahan segmentasi. Akan tetapi, pada beberapa kasus rekaman dengan jumlah siklus kurang dari 10, nilai T_{min} dapat mencapai hingga 10 detik. Dikarenakan pesat pencuplikan ialah 10 cuplik per detik, maka nilai potong (*cutoff*) tapis durasi yang digunakan ialah 10 kali nilai T_{min} .

Diskriminasi Pola Elektrogastrogram

Tiap-tiap berkas elektrogastrogram yang memenuhi (1), dan (2) dinyatakan berpola λ .

$$[V_{ist}] < N/c_{min} \quad (1)$$

$$c > c_{min} \quad (2)$$

Pola ϵ , ditentukan untuk semua siklus gelombang yang tidak memenuhi (1), dan (2). Sedangkan pola ρ , ditentukan apabila semua siklus gelombang dalam satu rekaman hanya memenuhi (2). Kami menggunakan $c_{min} = 3$, yang artinya jumlah siklus (depolarisasi-*plateau*-repolarisasi-istirahat) minimal ialah 3 buah untuk jangka waktu 6 menit 40 detik. $[V_{ist}]$ ialah jumlah cuplikan (kardinalitas) yang kurang dari V_{aktif} tiap 100 ms (frekuensi cuplik 10 Hz), sedangkan c ialah jumlah siklus (depolarisasi-*plateau*-repolarisasi-istirahat) dalam satu rekaman EGG.

Ucapan Terimakasih

Terimakasih disampaikan kepada tim EEIC (*Electrical Engineering Innovation Center*) yang telah bersedia untuk meminjamkan osiloskop GWINSTEK GDS 1102-A-U. Tak luput juga ucapan terimakasih untuk Dika Asoka Masatu S.T., yang telah bersedia mengangkut kelinci beserta kandangnya.

Daftar Pustaka

- Homma, S. et al. (1998). Topographic of short bowel syndrome or power electrogastroenterography, *J. Smooth Muscle Res. Japan.* – **2**(1) pp. J-54.
- Jieyun Yin, J. D. (2013). *Electrogastrography: Methodology, Validation and Applications*. *J. Neurogastroenterol. Motil.*, **19**, pp. 5-17.
- Kaneoke, Y. et al. (1992). Electrogastroenterography. I. Analysis of methodology, *Aut. Nerv. Syst.* **29**, pp. 29-37.
- Kenneth, L.K. & M. Robert. (2004). *Handbook of Electrogastrography* Oxford University Press, U.K.
- Květina, J., Varayil, J., Ali, S., Kuneš, M., Bureš, J., Tachecí, I., et al. (2010). Preclinical electrogastrography in experimental pigs. *Interdisp. Toxicol.*, **3**(2).
- Matsuura Y., Takada H. dan Yokoyama K. (2009). Dependence of Lyapunov exponents on embedding delay in electrogastrography analysis, *IEEJ Trans. Electron., Inf. Syst.* **129**(1), pp. 2243–2244.
- Naruse T., Inoue H. dan Inomata H. (2000). Power Spectral—Time Analysis of Electrogastrography, *Proceedings of the Society of Instrument and Control Engineers Tohoku Bab.* **189**(1). pp. 1–9.
- Sagami Y. dan Hongo M. (2007). Electrogastrogram, in *Clinical Examination of the Autonomic Nervous System*, Edisi ke 4, Tokyo : Bunkodo.
- Van der voort, I. R., et al. (2003). Electrogastrography as a diagnostic tool for delayed gastric emptying in functional dyspepsia and irritable bowel syndrome. *Neurogastroenterol. Motil.* **15**. pp. 467–473.